



МОСКОВСКИЙ ГОСУДАРСТВЕННЫЙ УНИВЕРСИТЕТ ИМЕНИ М. В. ЛОМОНОСОВА  
Факультет вычислительной математики и кибернетики  
Кафедра системного анализа

Отчёт по практикуму

# «Прикладные задачи системного анализа: задачи биоматематики»

*Студентка 515 группы*  
А. А. Наумова

*Руководитель практикума*  
аспирант Д. А. Алимов

Москва, 2020

# Содержание

<b>1</b>	<b>Постановка задачи</b>	<b>3</b>
<b>2</b>	<b>Исследование нераспределенной системы</b>	<b>4</b>
2.1	Замена переменных . . . . .	4
2.2	Неподвижные точки и их тип . . . . .	4
2.3	Фазовый портрет . . . . .	6
2.3.1	Случай 1 . . . . .	6
2.3.2	Случай 2 . . . . .	7
<b>3</b>	<b>Исследование распределенной системы</b>	<b>8</b>
3.1	Замена переменных . . . . .	8
3.2	Неподвижные точки и их тип . . . . .	8
3.3	Проверка наличия волновых решений . . . . .	9
	<b>Список литературы</b>	<b>10</b>

# 1 Постановка задачи

Дана система, описывающая динамику численности популяций жертвы и хищника:

$$\begin{cases} \dot{u} = au - \frac{bu^2v}{1 + Pu} + d_1u_{xx}, \\ \dot{v} = -cv + \frac{du^2v}{1 + Pu} + d_2v_{xx}. \end{cases}$$

Требуется:

1. Сделать замены переменных
2. Исследовать фазовый портрет нераспределенной системы (неподвижные точки, их тип, изоклины)
3. Проверить наличие волновых решений распределенной системы
4. Выбрать подходящее решение и скорость волны
5. Привести иллюстрации и графики фазовых портретов и решений

## 2 Исследование нераспределенной системы

### 2.1 Замена переменных

Пусть

$$\tilde{u} = \alpha u; \tilde{v} = \beta v; \tilde{t} = \gamma t; \tilde{x} = \delta x.$$

Тогда система примет следующий вид:

$$\begin{cases} \frac{\gamma}{\alpha} \tilde{u}_{\tilde{t}} = \frac{a}{\alpha} \tilde{u} - \frac{b}{\alpha^2 \beta} \frac{\tilde{u}^2 \tilde{v}}{(1 + P\tilde{u}/\alpha)} + d_1 \frac{\delta^2}{\alpha} \tilde{u}_{\tilde{x}\tilde{x}}, \\ \frac{\gamma}{\beta} \tilde{v}_{\tilde{t}} = \frac{-c}{\beta} \tilde{v} + \frac{d}{\alpha^2 \beta} \frac{\tilde{u}^2 \tilde{v}}{(1 + P\tilde{u}/\alpha)} + d_2 \frac{\delta^2}{\beta} \tilde{v}_{\tilde{x}\tilde{x}}. \end{cases}$$

Чтобы избавиться от лишних коэффициентов, возьмем

$$\gamma = a; \beta = \frac{b}{a}; \alpha = P; \delta = \sqrt{\frac{a}{d_2}}.$$

Получим

$$\begin{cases} \dot{u} = u \left( 1 - \frac{1}{P} \frac{uv}{1+u} \right) + \frac{d_1}{d_2} u_{xx}, \\ \dot{v} = \frac{-c}{a} v \left( 1 - \frac{d}{P^2 c} \frac{u^2}{1+u} \right) + v_{xx}. \end{cases}$$

Переобозначим

$$k_1 = \frac{1}{P}; k_2 = \frac{-c}{a}; k_3 = \frac{d}{P^2 c}.$$

Предполагаем, что  $d_1 = 0$  (жертвы сконцентрированы в одной точке). Тогда получаем систему размерности 3:

$$\begin{cases} \dot{u} = u \left( 1 - k_1 \frac{uv}{1+u} \right), \\ \dot{v} = k_2 v \left( 1 - k_3 \frac{u^2}{1+u} \right) + v_{xx}. \end{cases}$$

### 2.2 Неподвижные точки и их тип

Якобиан системы имеет вид:

$$J(u,v) = \begin{pmatrix} 1 - k_1 uv \frac{2+u}{(1+u)^2} & -k_1 \frac{u^2}{1+u} \\ -k_2 k_3 uv \frac{2+u}{(1+u)^2} & k_2 \left( 1 - k_3 \frac{u^2}{1+u} \right) \end{pmatrix}$$

Рассмотрим неподвижную точку  $T_1 = (0, 0)$ .

Якобиан в этой точке принимает вид:  $J(0,0) = \begin{pmatrix} 1 & 0 \\ 0 & k_2 \end{pmatrix}$

Так как существует собственное значение с положительной вещественной частью ( $\lambda_1 = 1$ ), то данная точка неустойчива по теореме Ляпунова о неустойчивости по первому приближению.

Далее рассмотрим систему уравнений, решения которой отвечают изоклинам рассматриваемой системы:

$$\begin{cases} 1 - k_1 \frac{uv}{1 + u} = 0, \\ 1 - k_3 \frac{u^2}{1 + u} = 0. \end{cases}$$

Решение второго уравнения:  $u = \frac{1 \pm \sqrt{1 + 4k_3}}{2k_3}$ .

Так как  $k_3 > 0$ , в область  $\mathcal{R}^+$  попадает только  $u^* = \frac{1 + \sqrt{1 + 4k_3}}{2k_3}$ .

Для удобства вычислений возьмем  $k_3 = 1$ . Также будем помнить, что  $k_1 > 0; k_2 \leq 0$ ; (плюс еще надо не забыть рассмотреть случаи  $P = 0; c = 0; d = 0$ ).

Тогда  $u^* = \frac{1 + \sqrt{5}}{2}, v^* = \frac{1 + u^*}{k_1 u^*} = \frac{1}{k_1} \left( 1 + \frac{2k_3}{1 + \sqrt{1 + 4k_3}} \right) = \frac{1}{k_1} \left( 1 + \frac{2}{1 + \sqrt{5}} \right)$ .

Исследуем теперь данную неподвижную точку  $T_2 = (u^*, v^*)$ .

Якобиан в этой точке принимает вид:

$$J(u^*, v^*) = \begin{pmatrix} -\frac{\frac{\sqrt{5}+5}{2} + 1}{\frac{\sqrt{5}}{2} + \frac{3}{2}} & -\frac{k_1 \left( \frac{1}{2} + \frac{\sqrt{5}}{2} \right)^2}{\frac{\sqrt{5}}{2} + \frac{3}{2}} \\ -\frac{k_2 \left( 1 + \sqrt{5} + \left( \frac{1}{2} + \frac{\sqrt{5}}{2} \right)^2 \right)}{k_1 \left( \frac{1}{2} + \frac{\sqrt{5}}{2} \right) \left( \frac{\sqrt{5}}{2} + \frac{3}{2} \right)} & k_2 \left( -\frac{\left( \frac{1}{2} + \frac{\sqrt{5}}{2} \right)^2}{\frac{\sqrt{5}}{2} + \frac{3}{2}} + 1 \right) \end{pmatrix}$$

$$\lambda_1 = -\frac{21\sqrt{5}\sqrt{2728\sqrt{5}k_2+6100k_2+72\sqrt{5}+161}}{4} + \frac{47\sqrt{2728\sqrt{5}k_2+6100k_2+72\sqrt{5}+161}}{4} - \frac{3}{4} + \frac{\sqrt{5}}{4}$$

$$\lambda_2 = -\frac{47\sqrt{2728\sqrt{5}k_2+6100k_2+72\sqrt{5}+161}}{4} + \frac{21\sqrt{5}\sqrt{2728\sqrt{5}k_2+6100k_2+72\sqrt{5}+161}}{4} - \frac{3}{4} + \frac{\sqrt{5}}{4}$$

После упрощения выражений и численного вычисления значений получаем:

$$\lambda_1 = -0.190983005625053 + 1.17557050458504\sqrt{(k_2 + 0.026393202250021)}$$

$$\lambda_2 = -0.190983005625053 - 1.17557050458504\sqrt{(k_2 + 0.026393202250021)}$$

Заметим, что при  $k_2 = \left( \frac{0.190983005625053}{1.17557050458504} \right)^2 - 0.026393202250021 = 0$   $\lambda_1 = 0$ . Вспомним также, что  $k_2 \leq 0$ . Получим несколько возможных случаев.

1)  $-0.026393202250021 \leq k_2 < 0$ .

$$\lambda_1, \lambda_2 < 0$$

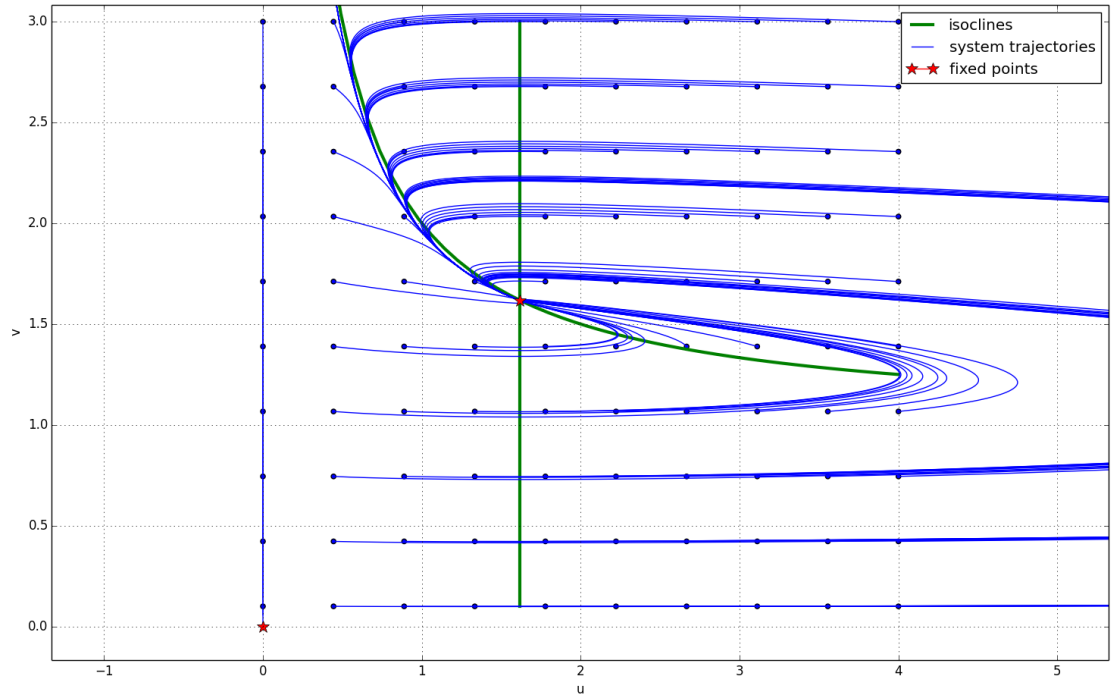
2)  $k_2 < -0.026393202250021$ .

$$Re(\lambda_1) < 0, Re(\lambda_2) < 0, Im(\lambda_1) > 0, Im(\lambda_2) < 0$$

Оба положения устойчивы.

## 2.3 Фазовый портрет

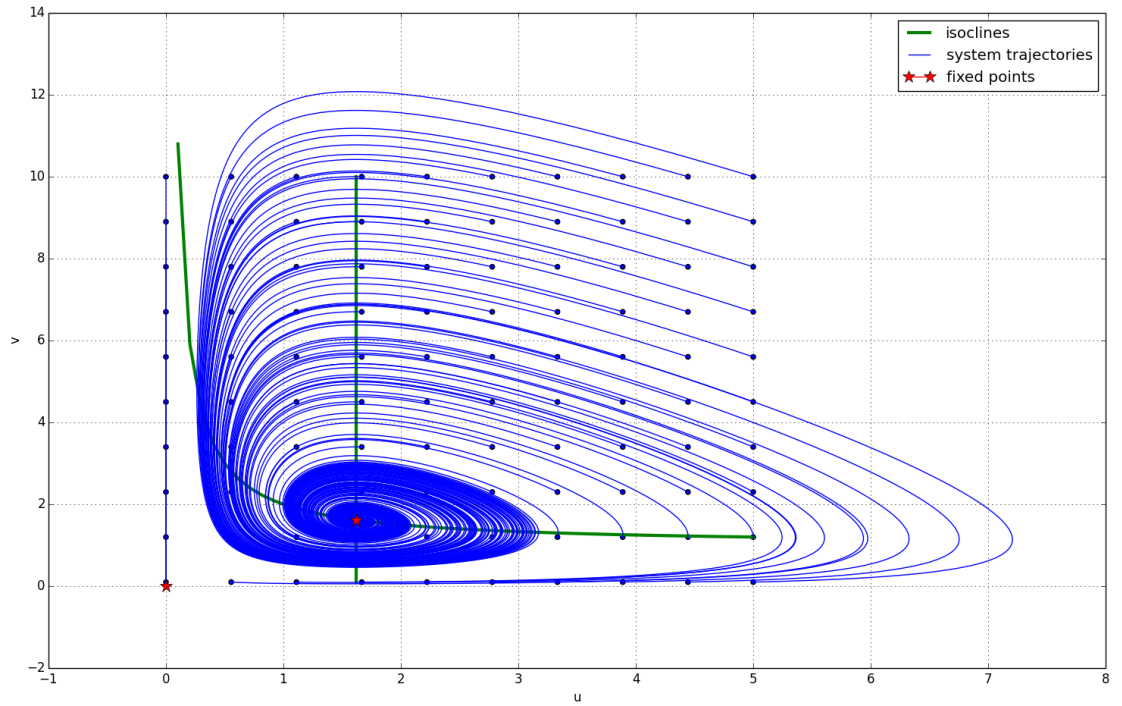
### 2.3.1 Случай 1



Данный фазовый портрет был построен при  $k_1 = 1, k_2 = -0.02, k_3 = 1$ , точки начала траекторий расположены на сетке  $10 \times 10$ , с параметрами  $start_u = 0.0, stop_u = 4.0, start_v = 0.1, stop_v = 3.0, stop_t = 100, num_t = 10000$ .

Видим, что неподвижная точка  $T_2 = (u^*, v^*)$  устойчива, к ней устремляются все траектории, кроме наиниющих в 0. А точка  $T_1 = (0, 0)$  неустойчива - траектории с  $u_0 = 0$  стремятся к ней, а траектории с  $v_0 = 0$  удаляются от нее.

### 2.3.2 Случай 2



Данный фазовый портрет был построен при  $k_1 = 1, k_2 = -1, k_3 = 1$ , точки начала траекторий расположены на сетке  $10 \times 10$ , с параметрами  $start_u = 0.0, stop_u = 5.0, start_v = 0.1, stop_v = 10.0, stop_t = 100, num_t = 10000$ .

### 3 Исследование распределенной системы

#### 3.1 Замена переменных

Волновые решения ищем в форме:  $u(t, x) = u(x + ct)$ ,  $v(t, x) = v(x + ct)$ , где  $c > 0$ . Подставим это в уравнение системы. Получим:

$$\begin{cases} cu'(z) = u(z) \left( 1 - k_1 \frac{u(z)v(z)}{1 + u(z)} \right), \\ cv'(z) = k_2 v(z) \left( 1 - k_3 \frac{u(z)^2}{1 + u(z)} \right) + v''(z). \end{cases}$$

Введем переменную  $w$  и перепишем систему:

$$\begin{cases} cu'(z) = u(z) \left( 1 - k_1 \frac{u(z)v(z)}{1 + u(z)} \right), \\ v'(z) = w(z), \\ w'(z) = cw(z) - k_2 v(z) \left( 1 - k_3 \frac{u(z)^2}{1 + u(z)} \right). \end{cases}$$

#### 3.2 Неподвижные точки и их тип

У этой системы 2 неподвижных точки, попадающих в рассматриваемую область значений:

$$\bar{O} = (0, 0, 0) \text{ и } \bar{P} = (u^*, v^*, 0), \text{ где } u^* = \frac{1 + \sqrt{5}}{2}, v^* = \frac{1}{k_1} \left( 1 + \frac{2}{1 + \sqrt{5}} \right).$$

Якобиан системы имеет вид:

$$J(u, v, w) = \begin{pmatrix} \frac{1}{c} \left( 1 - k_1 uv \frac{2 + u}{(1 + u)^2} \right) & -\frac{k_1}{c} \frac{u^2}{1 + u} & 0 \\ 0 & 0 & 1 \\ k_2 k_3 uv \frac{2 + u}{(1 + u)^2} & -k_2 \left( 1 - k_3 \frac{u^2}{1 + u} \right) & c \end{pmatrix}$$

Рассмотрим Якобиан в точках  $\bar{O}$  и  $\bar{P}$ .

$$J(0, 0, 0) = \begin{pmatrix} \frac{1}{c} & 0 & 0 \\ 0 & 0 & 1 \\ 0 & -k_2 & c \end{pmatrix}$$

Характеристический многочлен:

$$k_2 \left( -\lambda + \frac{1}{c} \right) - \lambda (c - \lambda) \left( -\lambda + \frac{1}{c} \right) = 0$$

Имеет корни:

$$\lambda_1 = \frac{1}{c};$$

$$\lambda_2 = \frac{c}{2} - \frac{\sqrt{c^2 - 4k_2}}{2};$$

$$\lambda_3 = \frac{c}{2} + \frac{\sqrt{c^2 - 4k_2}}{2};$$

Так как  $k_2 < 0$ ,  $c > 0$ , получим  $\lambda_1 > 0$ ,  $\lambda_2 < 0$ ,  $\lambda_3 > 0$ . Точка неустойчива.



$$J(u^*, v^*, 0) = \begin{pmatrix} -\frac{\frac{\sqrt{5}+5}{2}+1}{\frac{\sqrt{5}+3}{2}} & -\frac{k_1\left(\frac{1}{2}+\frac{\sqrt{5}}{2}\right)^2}{c\left(\frac{\sqrt{5}+3}{2}\right)} & 0 \\ 0 & 0 & 1 \\ \frac{k_2\left(1+\sqrt{5}+\left(\frac{1}{2}+\frac{\sqrt{5}}{2}\right)^2\right)}{k_1\left(\frac{1}{2}+\frac{\sqrt{5}}{2}\right)\left(\frac{\sqrt{5}+3}{2}\right)} & -k_2\left(-\frac{\left(\frac{1}{2}+\frac{\sqrt{5}}{2}\right)^2}{\frac{\sqrt{5}+3}{2}}+1\right) & c \end{pmatrix}$$

Характеристический многочлен:

$$k_2 \left( -\lambda + \frac{-\frac{\sqrt{5}+5}{2}+1}{\frac{\sqrt{5}+3}{2}} \right) \left( -\frac{\left(\frac{1}{2}+\frac{\sqrt{5}}{2}\right)^2}{\frac{\sqrt{5}+3}{2}} + 1 \right) - \lambda (c - \lambda) \left( -\lambda + \frac{-\frac{\sqrt{5}+5}{2}+1}{\frac{\sqrt{5}+3}{2}} \right) - \frac{k_2\left(\frac{1}{2}+\frac{\sqrt{5}}{2}\right)(c-\lambda)\left(1+\sqrt{5}+\left(\frac{1}{2}+\frac{\sqrt{5}}{2}\right)^2\right)}{c\left(\frac{\sqrt{5}+3}{2}\right)^2} =$$

0

Имеет корни:

$$\lambda_1 = c;$$

$$\lambda_2 = \frac{\sqrt{2}\sqrt{37396\sqrt{5}ck_2+83620ck_2+987\sqrt{5}+2207-47-21\sqrt{5}}}{110\sqrt{5}c+246c} =$$

$$= \frac{1}{c}(1.17557050458495 * \sqrt{c * k_2 + 0.026393202250021} - 0.190983005625053);$$

$$\lambda_3 = -\frac{\sqrt{2}\sqrt{37396\sqrt{5}ck_2+83620ck_2+987\sqrt{5}+2207+21\sqrt{5}+47}}{110\sqrt{5}c+246c} =$$

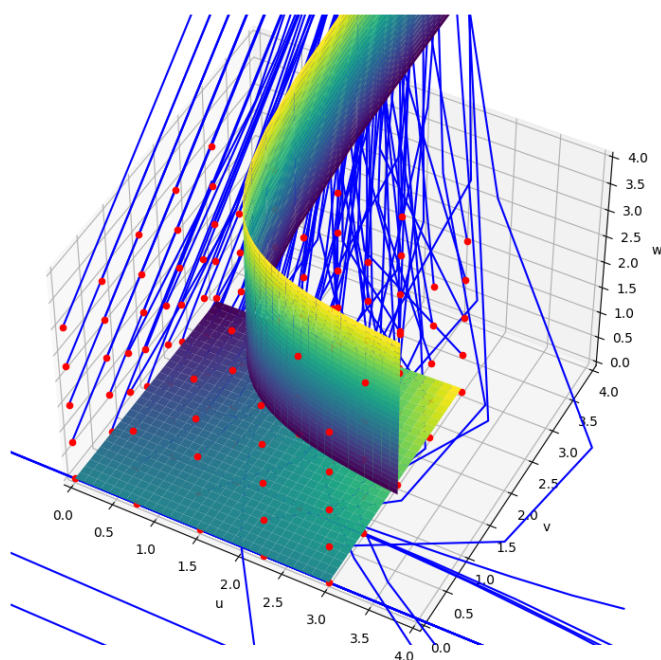
$$= \frac{1}{c}(-1.17557050458495 * \sqrt{c * k_2 + 0.026393202250021} - 0.190983005625053);$$

$\lambda_1 > 0, Re(\lambda_3) < 0, Re(\lambda_2)$  может быть как  $>0$  так и  $<0$  в зависимости от  $c$  и  $k_2$ . Точка неустойчива.

### 3.3 Проверка наличия волновых решений

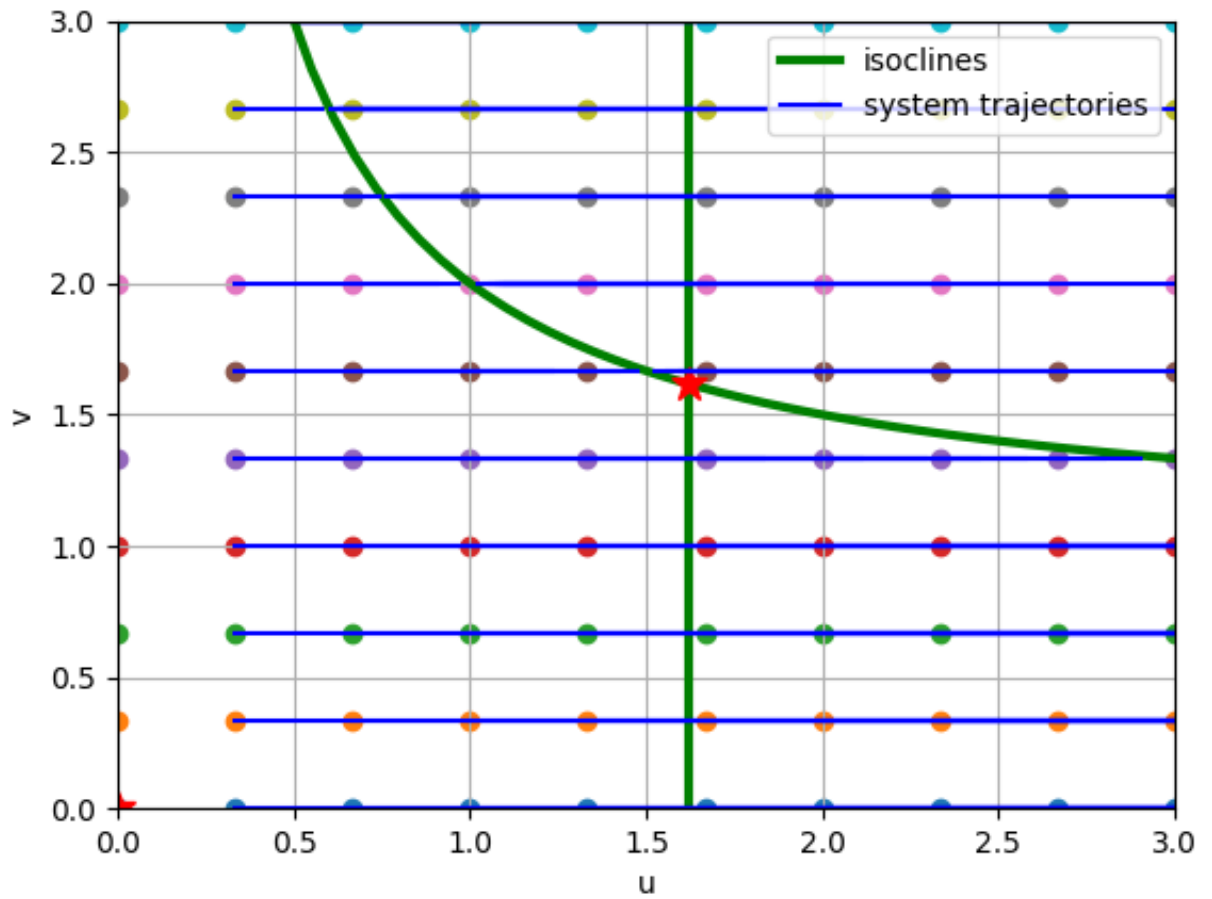
Точка  $\bar{O}$  имеет одномерное устойчивое и двумерное неустойчивое многообразие. Точка  $\bar{P}$  имеет одномерное устойчивое и двумерное неустойчивое многообразие, либо двумерное устойчивое и одномерное неустойчивое многообразие.

На данном графике изображено поведение траекторий и изоповерхности для распределенной системы.



Видим, что траектории  $s > 0$  удаляются от неподвижных точек.

Так как обе неподвижные точки находятся на плоскости  $w = 0$ , рассмотрим поведение траекторий, находящихся на данной плоскости.



Из графика (а также из того факта, что при  $w = 0$   $u' = 0$ ) получаем горизонтально направленные траектории, из чего следует, что не существует траекторий, которые попали бы из точки  $\overline{O}$  в точку  $\overline{P}$ , поскольку для этого было бы необходимо иметь  $u' > 0$ .

Получаем, что в данной системе нет волновых решений.

## Список литературы

- [1] Братусь А. С., Новожилов А. С., Платонов А. П. *Динамические системы и модели биологии*, 2011 г.